

B. 線形結合系の周波数軌跡と非線形要素の振幅軌跡をゲイン一位相平面上で重ね合わせ、それらの交点の存在により、安定なりミットサイクルを描くハンティング現象の解明ができた。これにより、ハンティング現象の測定結果を解析と対比し、その説明ができる。

(3) 最後に、本研究の結果から結合系の安定化とハンティング防止の対策として、表1に示したような指針が得られた。

終りに臨み、本研究の理論計算に協力していただいた森島明、堀切勉の両君に感謝の意を表します。

文 献

- 1) J. Nagaoka ; Experiments on stability of thermostatic expansion valves, 12th. International Congress of Refrigeration, (1967), p. 1017.
- 2) Z. R. Hulle ; Matching of the evaporator and thermostatic expansion by using a digital computer, 13th. International Congress of Refrigeration, (1973), p. 751.
- 3) P. Danig ; Liquid feed regulation by thermostatic expansion valves, Journal of Refrigeration, (1963), p. 52.
- 4) 斎藤・ほか2名 ; 蒸気圧縮冷凍機の動特性, 日本機械学会論文集, 39-324 (昭48), p. 2530.

正誤表

| 図番 | 誤 | 正 |
|----|---|---|
| 図3 | $\left\{ \frac{\partial P_B}{\partial \theta_B} \right\}$ | $\left\{ \frac{\partial P_B}{\partial \theta_B} \right\}_0$ |
| 図3 | $\left\{ \frac{\partial \theta_B}{\partial P_B} \right\}$ | $\left\{ \frac{\partial \theta_B}{\partial P_B} \right\}_0$ |
| 図3 | $\frac{G_{R_0}}{x_0}$ | $\frac{G_{R_0}}{X_0}$ |

- 5) W. F. Stoecker ; Stability of an evaporator-expansion valve control loop, ASHRAE Transactions, Part II, Vol. 72 (1966), p. IV3.1.
- 6) P. M. T. Broersen and M. F. G. van der Jagt ; Hunting of evaporators controlled by a thermostatic expansion valve, Transactions of the ASME, Journal of Dynamic Systems, Measurement, and Control, Vol. 102 (1980) p. 130-135.
- 7) P. M. T. Broersen ; Control with a thermostatic expansion valve, International Journal of Refrigeration, Vol. 5, No. 4 (1982), p. 209.
- 8) 樋口, 早野 ; 温度自動膨張弁の動特性, 第1報 : 解析的研究, 冷凍, 55-636 (昭56), p. 859.
- 9) 樋口, 早野 ; 温度自動膨張弁の動特性, 第2報 : 実験的研究, 冷凍, 55-636 (昭56), p. 869.
- 10) 樋口 ; 流入冷媒量変動にもなうプレートフィンコイル形蒸発器出口温度の応答, 冷凍, 58-672 (昭58), p. 941.
- 11) 市川 ; 体系自動制御理論, (昭45), 朝倉書店, p. 334.
- 12) 計測自動制御学会編 ; 自動制御便覧, (昭43), コロナ社, p. 233.

研究論文

空調機におけるマトリックス電子制御方式

Electric Control Methods in matrix form in Air Conditioners.

松岡 文雄
Fumio MATSUOKA

Summary

In order to save energy, air conditioners must be controlled to use the least electric energy. First, I developed a simulation program to analyze the refrigerating cycle, and I researched how much the elements of air conditioners affect the system properties (performance or EER). Second, I totaled the effects of elements of air conditioners and the system properties in matrix form, and I tested this control theory with air conditioners.

Use of this matrix permits easy calculation and decision in regard to which components are to be changed in which way to obtain the desired system characteristics.

This time, the matrix was stored in a microcomputer, the effects were confirmed with actual equipment operation, and the results are reported in the following.

1. 緒言

近年、電子制御技術を駆使して、省エネルギー・使用効率の向上をはかる機器の開発が促進されているが、冷媒を使った冷凍サイクル方式の空気調和機も時代の要請に応じ、省エネルギー型機器の開発および制御が必要となってきている。

そこで、空気調和機の各構成要素が、能力・成績係数などのシステム特性におよぼす影響を、模擬してマトリックスとしてまとめた。

このように多数の外的要因、機器特性要因を総合して最適制御できるよう、多対多の対応動作マトリックスとしてまとめることにより、複雑な空気調和機の機能を容易に制御することが可能となった。本論文はこのマトリックス電子制御方式の理論と、マトリックスをマイクロコンピューターに記憶させて実機運転にて使用する制御方法を述べる。

2. 冷凍サイクルのモデルと理論式

本解析に使用した冷凍サイクルのモデルを図1に示す。圧縮機はレシプロ型の定格出力2.2 kWクラスのものとし、膨張弁は温度式膨張弁を使い、膨張弁入口における冷媒のサブクール度又は圧縮機入口における冷媒のスーパーヒート量を変更できるようなモデルを

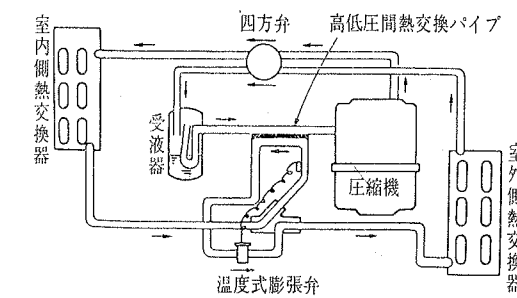


図1 冷凍サイクルモデル(暖房運転)

作成した。

2.1 圧縮工程

吐出冷媒温度 T_d と容積効率 η_v と入力 L と流量 G を求める式を次に示す。

$$T_d = T_s \times \rho^{\frac{n-1}{n}} \quad (1)$$

$$\eta_v = C_1 - C_2 \times \rho^{\frac{n-1}{n}} \quad (2)$$

$$L = \frac{1}{\eta_m} \times \frac{1}{n-1} \times P_s \times v_g \times G \times \left(\rho^{\frac{n-1}{n}} - 1 \right) \times K \quad (3)$$

*三菱電機株式会社 商品研究所
Mitsubishi Electric Corporation Consumer Products Research Laboratory.
原稿受理 昭和58年7月20日

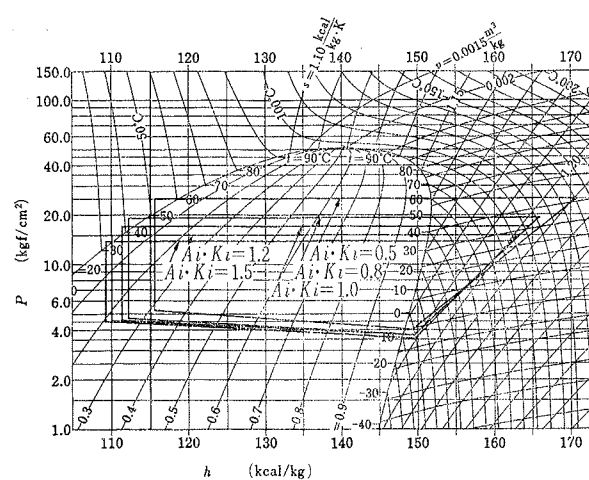


図6 暖房時モリエル線図表示

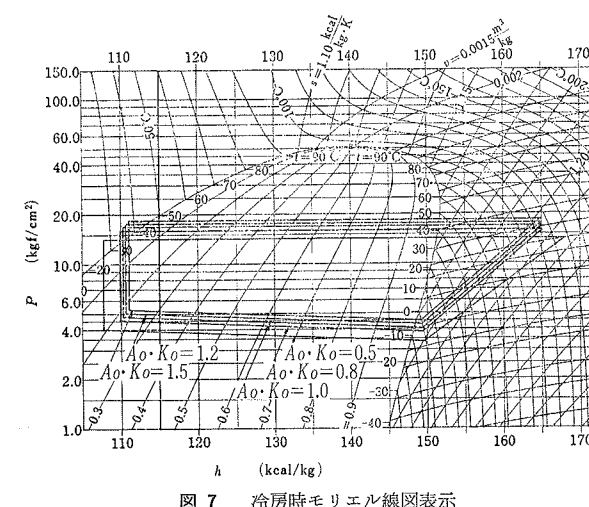


図7 冷房時モリエル線図表示

$$\begin{aligned} \text{冷房成績係数 } COP_c &= 0.562 A_0 K_0 + 1.56 \\ \text{暖房能力 } Q_h &= 1790 A_0 K_0 + 4710 \\ \text{暖房成績係数 } COP_h &= 0.0241 A_0 K_0 + 2.80 \end{aligned} \quad \dots \quad (12)$$

更に前項の室内側熱交換器の $A_i K_i$ の変化と本項の室外側熱交換器の $A_0 K_0$ の変化による冷・暖房能力と COP におよぼす影響を整理すると表1のようになる。

表1 $A_i K_i$ と $A_0 K_0$ と能力と COP との相関

| システム特性 | 冷房能力 Q_c | 冷房成績係数 COP_c | 暖房能力 Q_h | 暖房成績係数 COP_h |
|------------------|--------------------|--------------------|--------------------|---------------------|
| 構成要素 $A_i K_i$ | +Correlation Great | +Correlation small | +Correlation small | +Correlation Great |
| 室外熱交換器 $A_0 K_0$ | +Correlation small | +Correlation Great | +Correlation Great | Correlation nothing |

以上のことから、能力は蒸発器(低圧側)の $A_i K_i$ の増減によって大きく左右され、成績係数の方は凝縮器(高圧側)の $A_i K_i$ の増減によって大きく左右されていることが判る。

4.3 理論ピストン押しのけ量とシステム特性

理論ピストン押しのけ量 V_p の現状値を規格化して1とし、 V_p を0.5, 0.8, 1.0, 1.2, 1.5に変化させた各場合の計算結果のうち暖房時の図8に示す。

暖房能力は、ピストン押しのけ量と正の相関が大であり、成績係数は逆に負の相関関係にある。容量制御を必要とする場合、ピストン押しのけ量をインバーターなどの方法で小さくすることができるならば、成績係数の向上を計ることができる。能力および成績係数を定量的に式化すると次のようになる。

$$\left. \begin{aligned} \text{冷房能力 } Q_c &= 3180 V_p + 3010 \\ \text{冷房成績係数 } COP_c &= -0.843 V_p + 2.91 \\ \text{暖房能力 } Q_h &= 4940 V_p + 1560 \\ \text{暖房成績係数 } COP_h &= -0.672 V_p + 3.45 \end{aligned} \right\} \quad (13)$$

4.4 凝縮器出口冷媒のサブクール度とシステム特性

サブクール度を0.0°C, 4.0°C, 8.0°Cの3通りに変化させてシステム特性を計算さ

せ、その結果のうち冷房時の図9に示す。能力も成績係数も大きな変化はない。例えばサブクール度が大きいと、利用エンタルピー量は増加する。しかし凝縮器側の $A_0 K_0$ が一定であるために熱交換能力は変化していないので、逆にサブクールをとるために凝縮温度が上昇する。更に低圧側圧力も低下する。この圧縮比の増大は容積効率の低下につながり、又低圧側圧力の低下は圧縮機吸込冷媒ガスの比容積 v の増大となり、結果的に循環流量は減少する。

以上の結果、サブクール度を大きくすることは、利用エンタルピーの増加と共に循環流量の減少となり、両者が相殺しあって能力はあまり変化しない。これらを定量的に表現すると式(14)となる。

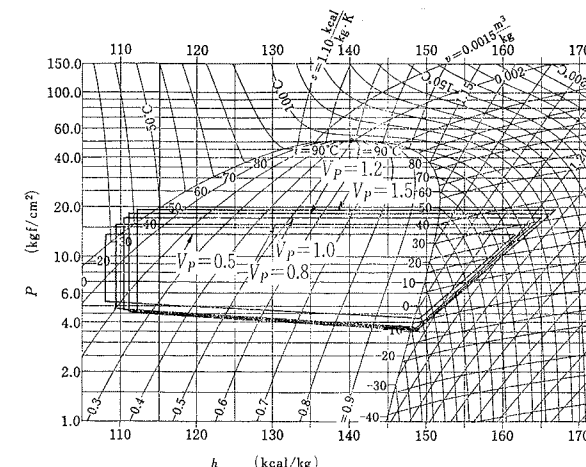


図8 暖房時モリエル線図表示

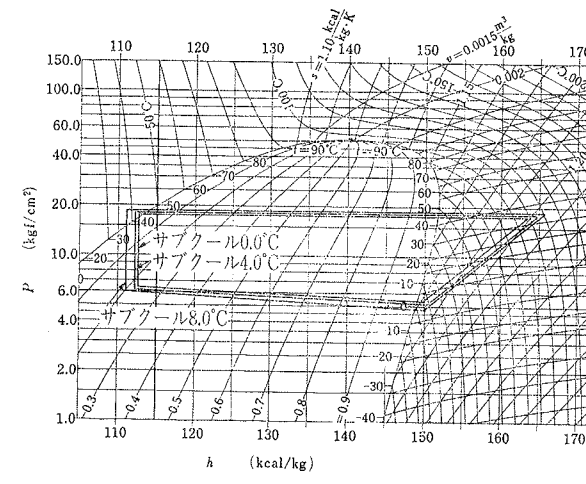


図9 冷房時モリエル線図表示

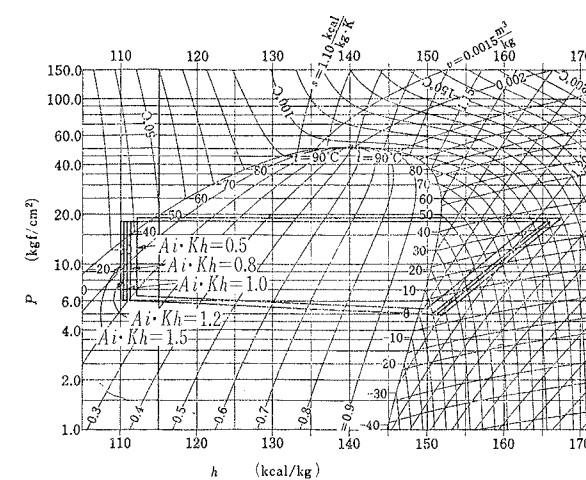


図10 暖房時モリエル線図表示

$$\left. \begin{aligned} \text{冷房能力 } Q_c &= -22.3 S_c + 6280 \\ \text{冷房成績係数 } COP_c &= 0.000375 S_c + 2.07 \\ \text{暖房能力 } Q_h &= 18.3 S_c + 6420 \\ \text{暖房成績係数 } COP_h &= 0.0128 S_c + 2.73 \\ S_c : \text{サブクール度 deg} \end{aligned} \right\} \quad (14)$$

4.5 圧縮機吸込冷媒のスーパーヒート量とシステム特性

高低圧間の熱交換用パイプの熱交換面積と総括熱通過率の積 ($A_h K_h$) の値の現状値を規格化して1とし、これを0.5, 0.8, 1.0, 1.2, 1.5に変化させた場合について計算し、暖房時の計算結果を図10に示す。

暖房能力は、圧縮機吸込冷媒ガスがスーパーヒートしてくるにつれて、吐出温度・吐出エンタルピーが共に上昇し、凝縮器側利用エンタルピーが増加してくる。一方、吸込比容積が大きくなつて冷媒循環流量が減少していくが、両者が相殺しあっても10deg程度のスーパーヒート量のところで少し高めの能力が得られる。ここで冷暖房能力と成績係数を熱交換パイプの $A_h K_h$ の関係として直線近似を行なうと次のようになる。

$$\left. \begin{aligned} \text{冷房能力 } Q_c &= -240 A_h K_h + 6430 \\ \text{冷房成績係数 } COP_c &= -0.0391 A_h K_h + 2.17 \\ \text{暖房能力 } Q_h &= 98.3 A_h K_h + 6400 \\ \text{暖房成績係数 } COP_h &= 0.0179 A_h K_h + 2.76 \end{aligned} \right\} \quad (15)$$

5. 冷凍サイクルの各構成要素とシステム特性のマトリックス相関

4章では、冷凍サイクルの各構成要素がシステム特性におよぼす影響を定量化してきた。この結果は次式のように表現できる。

$$Q_c = Q_c(A_i K_i, A_0 K_0, V_p, A_h K_h, S_c) \quad \dots \quad (16)$$

$$COP_c = COP_c(A_i K_i, A_0 K_0, V_p, A_h K_h, S_c) \quad \dots \quad (17)$$

$$Q_h = Q_h(A_i K_i, A_0 K_0, V_p) \quad \dots$$

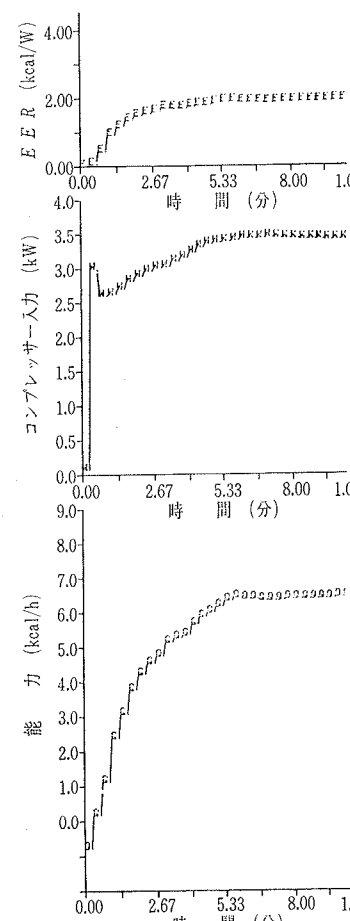


図14 再起動時圧縮機入力の時間的変化

るため、常に最高の COP_c のもとでの容量制御を行なわせることができる。このようにすれば、繁雑な ON-OFF 運転に比べてトータル的に COP を向上させるとともに、圧縮機の信頼性をも向上させることができるとなる。

6.2 蒸発温度制御

梅雨時の湿気の多い季節に冷房運転をする場合の室内温湿度は、図15に示すような変化をする。この図では、室内相対湿度がまだ70%までしか下がっていないのに、室温が26°Cまで下がっている。このような時に快適な環境を作るためには、頭熱比の小さい(冷房能力のうち頭熱による温度変化より潜熱による除湿能力の大きい)運転が要求される。そのためには、蒸発温度を下げて運転する必要がある。そこで、式(25)、(26)の中のシステム特性のうちに蒸発温度 T_e を含めると式(27)ができる。

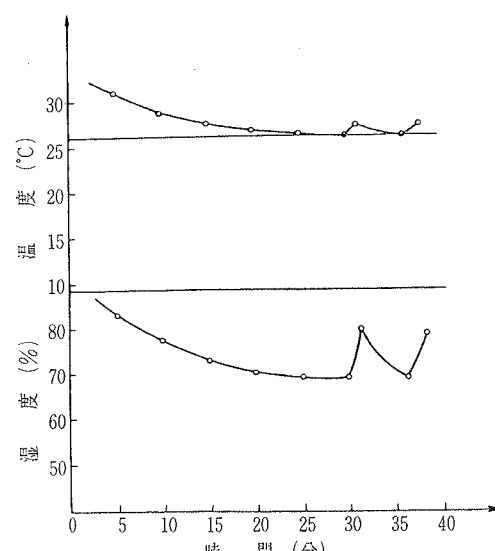


図15 冷房運転中の室内温湿度

$$\begin{pmatrix} \delta Q_c \\ \delta COP_c \\ \delta T_e \end{pmatrix} = \begin{pmatrix} a_{11} & a_{12} & a_{13} \\ a_{21} & a_{22} & a_{23} \\ a_{31} & a_{32} & a_{33} \end{pmatrix} \cdot \begin{pmatrix} \delta A_i K_i \\ \delta A_o K_o \\ \delta V_p \end{pmatrix} \quad \dots \dots \dots (27)$$

今、冷房能力 Q_c と蒸発温度 T_e との要求があれば式(27)で示す行列の演算によって、逆に室内側と室外側熱交換器のファン及び圧縮機の制御量を求めることができる。

6.3 運転範囲の拡大

冬期暖房運転時で暖房負荷が小さいとき、高圧側(凝縮器側)圧力が上昇して高圧カットオフになり、暖房運転が不可能となる場合がある。だからといって、高圧側圧力を下げて運転を続行させるために室外側熱交換器(蒸発器)用ファンの回転数を低下させると、こんどは低圧側圧力が下がり過ぎて蒸発温度が-10.0°C程度になり、霜が着き始めてやがてはデフロストサイクルに入り、これもまた暖房運転継続下可能となる。この様子を図16に示す。暖房運転時には高圧側圧力が26kg/cm²程度以下で、かつ蒸発温度が-5°C以上であるようなシステム特性をもたすことが望ましい。例えば、室内側熱交換器用ファンと室外側熱交換器用ファンとの相関関係で制御すれば運転制限領域内に入れることができるかを示したのが図17である。図中、 T_e は蒸発温度、 P_h は高圧側圧力を示す。斜線部は着霜領域、網目部は高圧カットオフ領域であり、両者を避ける制御領域は極めて狭いことが明確である。この場合のマトリックスは、式(28)

を簡便に統一的に実行する手段としてマイクロコンピューターを使ったマトリックス電子制御方式の開発は極めて有効であると確信している。

7. 緒言

省エネルギーが強い社会的要望となっており、空気調和装置の省エネルギー運転方法を確立することは、空調冷凍技術の進展のために必要である。

一方、電子技術の発達に伴い、マイクロコンピューター組み込みの機器が開発されているが、空気調和装置に関しては、未だその機能を十分に活用しているとは言い難い。本文では、マイクロコンピューターの持つ記憶・演算・判断の機能を利用しうるマトリックス手法を紹介し、これから電子制御による空気調和装置の最適制御の方向を示した。今後とも、ますます省エネルギーでかつ快適な空調を行うために、きめ細かい運転制御が要求されるであろうし、そのための道具としてのマイクロコンピューターを十分に活用する方法が開発されることを期待するものである。

文献

1. R22冷媒熱物性値表、日本冷凍協会。
2. 内田：冷凍機械工学ハンドブック
3. 内田他：冷凍、45～515、(昭54-9)。
4. 斎藤他：冷凍、46～529 (昭46-11)。
5. 千秋：機論、No.720-13 (1972-8)。
6. 小滝他：冷凍、50～574 (昭50-8)。
7. 室谷：冷凍空調における新技術、50.1.16-17。
8. 樋口他：冷凍、42-438 (昭42-4)。
9. 鈴置：機論、41～350 (昭50-10)。
10. F.J. Moody : Trans ASME (1965-2)。
11. G.L. Wedekind他 : Int Heat Transfer cont 5 [4] 1974.
12. Zivi : Asme Journal of Heat Transfer 247 (1964-5)。
13. 斎藤他：東京大学工学部総合試験所年報、第38卷 (1979) p.97。
14. 斎藤他：東京大学工学部総合試験所年報、第39卷 (1980) p.69。
15. 松岡：三菱電機技報、53～11、1979。

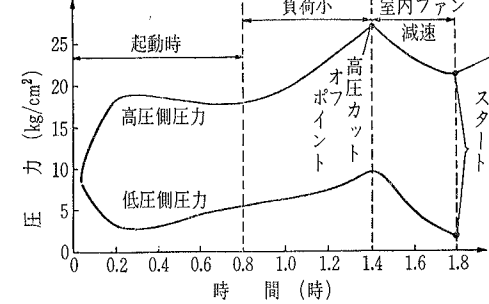


図16 高圧カットオフとデフロスト

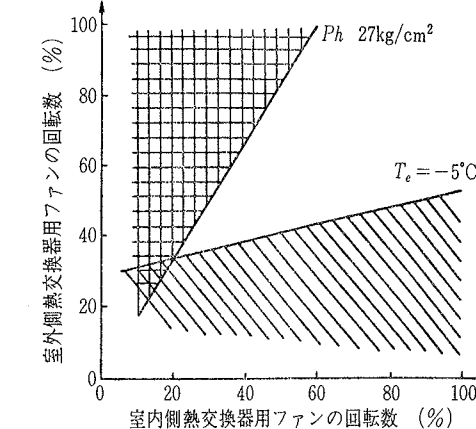


図17 室内・外側熱交換機用ファンの速度調節限界

に示すような暖房能力 Q_h 、暖房成績係数 COP_h 、高圧側圧力 P_h 、蒸発温度 T_e を含んだものにすればよい。

$$\begin{pmatrix} \delta Q_h \\ \delta COP_h \\ \delta P_h \\ \delta T_e \end{pmatrix} = \begin{pmatrix} a_{11} & a_{12} \\ a_{21} & a_{22} \\ a_{31} & a_{32} \\ a_{41} & a_{42} \end{pmatrix} \cdot \begin{pmatrix} \delta A_i K_i \\ \delta A_o K_o \end{pmatrix} \quad \dots \dots \dots (28)$$

この式を図11、図12に示すように応用すれば、その時に必要な暖房能力に応じ、室内・外の両ファンを図17に示す制限領域内で相関を持たせて制御することができます。

これまで述べてきたように、容量制御・蒸発温度制御・運転範囲の拡大などは、省エネルギー運転制御あるいは快適性の向上、更には機器自体の信頼性の向上を追求したものである。このような、きめ細かい運転